

计算机图形学

第六次实验报告

MassSpring

PB20000264

韩昊羽

一. 实验要求

- 学会物理仿真的基本方法
- 实现欧拉半隐式方法
- 实现欧拉隐式方法
- 学会使用牛顿法解方程
- 实现欧拉隐式方法加速

二. 操作环境

IDE: Microsoft Visual Studio 2019 community

QT: 5.12.12

Cmake: 3.23.1

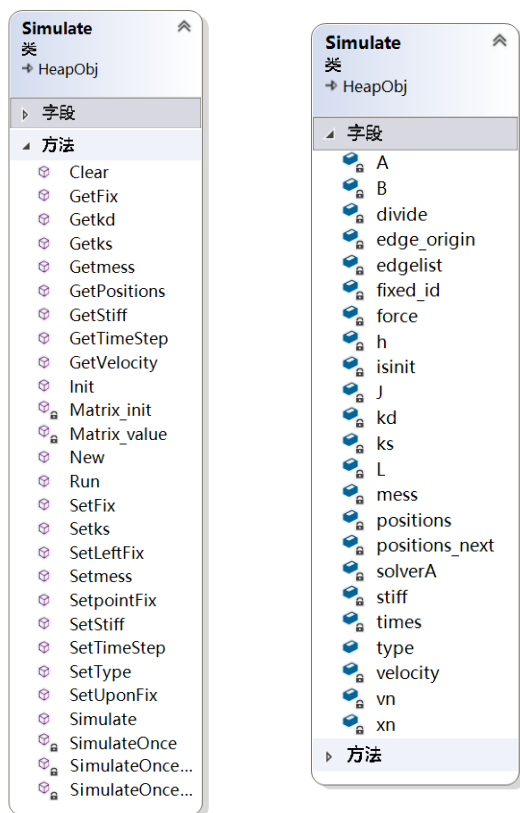
UEngine

三. 架构设计

3.1 文件结构

▸ ++ Glue.cpp	▸ Glue.h
▸ ++ IsotropicRemeshing.cpp	▸ IsotropicRemeshing.h
▸ ++ MinSurf.cpp	▸ MinSurf.h
▸ ++ MinSurf ARAP.cpp	▸ MinSurf ARAP.h
▸ ++ MinSurf ASAP.cpp	▸ MinSurf ASAP.h
▸ ++ MinSurf normal.cpp	▸ MinSurf normal.h
▸ ++ MST.cpp	▸ MST.h
▸ ++ Paramaterize.cpp	▸ Paramaterize.h
▸ ++ ShortestPath.cpp	▸ ShortestPath.h
▸ ++ Simulate.cpp	▸ Simulate.h

相比于上一次作业没有改动，全部功能在 simulate 类中实现。



3.2 类图

对于字段, A,B,J,L 是矩阵, divide 是对步长进行缩小的倍数, edge_origin 存了原长, kd,ks,mess 是参数, times 是加速方法迭代的次数, xn,vn 标记上一帧的值。

对于方法, get 和 set 方法大多都是设置参数, 更改参数的接口, Matrix_init 是加速算法中矩阵的初始化, matrix_value 是九宫格矩阵赋值。最后三个 Simulate 开头的方法是用三种不同方法进行模拟。

四. 功能实现

对于物理仿真系统, 基本的思路是根据上一帧的位移和速度, 通过物理公式推导出这一帧的位移和速度, 并进行更新, 以此迭代。

欧拉半隐式方法:

欧拉半隐式方法核心是通过上一帧的位移和速度推导出这一帧的力, 通过牛顿第二定律得出加速度, 再更新速度, 得出位移, 并以此迭代。基本公式为:

$$v_{n+1} = v_n + hM^{-1}f(x_n)$$

$$x_{n+1} = x_n + hv_{n+1}$$

流程如下：

Algorithm 1 Spring-Mass System Timestep Loop

```

// 计算每个质点所受的外力（这里只有重力）
for each Particle  $p$  : particles do
     $p.frc = 0$ ; //  $frc$ 为质点所受力
     $p.frc+ = p.mass * gravity$ ;
end for
// 计算每个质点所受的内力（弹力和阻尼）从而求得质点所受合力
for all each Spring  $s(i, j)$  : springs do
     $d = j.pos - i.pos$ ; // 计算弹簧方向
     $l = d.norm$ ; // 计算弹簧长度
     $v = j.vel - i.vel$ ;
     $f = (k_s(\frac{l}{l_0} - 1) + k_d(\frac{v}{l_0} \cdot \frac{d}{l}))\frac{d}{l}$  // 计算质点所受内力，其中 $l_0$ 为弹簧原长
     $i.frc+ = f$ ;
     $j.frc- = f$ ;
end for
// 欧拉半隐式求解
for each Particle  $p$  : particles do
     $p.vel+ = dt * (p.frc/p.mass)$ ;
     $p.pos+ = dt * p.vel$ ;
end for

```

其中关于阻尼 k_d 的部分暂时隐去，经过测试，是否有阻尼对结果影响不大，且阻尼过大可能会引发结果发散。

半隐式的方法缺点是不稳定，结果可能不收敛，而且波动比较大，结合隐式方法的思想，我对它做了一些改进：对 x_{n+1} 进行迭代来修正。

第一步：

$$x_{n+1} = x_n + hv_n$$

第二步：

$$v_{n+1} = v_n + hM^{-1}f(x_{n+1})$$

与半隐式不同，这里使用了由 v_n 粗略估计出来的 x_{n+1} 来计算力

第三步：

$$x_{n+1} = x_n + hv_{n+1}$$

即由 v_{n+1} 对 x_{n+1} 进行更新，并以此回到第二步迭代。

发现还是存在波动和不收敛的问题，但相对普通半隐式好了不少。

欧拉隐式方法：

对于基本公式，消去速度之后可以得到

$$y = x_n + hv_n + h^2 M^{-1} f_{ect}(x_n)$$

$$M(x - y) = h^2 f_{int}(x)$$

只需要求解方程得到 x 即可。

我们采用牛顿法迭代求解上述方程

$$x^{(0)} = y$$

$$x^{(k+1)} = x^{(k)} - (\nabla g(x^{(k)}))^{-1} g(x^{(k)})$$

$$\nabla g(x^{(k)}) = M - h^2 \nabla f_{int}(x)$$

在计算 $\nabla f_{int}(x)$ 的时候，对于连接 x_1, x_2 的弹簧，

$$\frac{\partial f_1}{\partial x_1} = k \left(\frac{l}{\|r\|} - 1 \right) I - kl \|r\|^{-3}$$

$$\frac{\partial f_1}{\partial x_2} = -\frac{\partial f_1}{\partial x_1}, \frac{\partial f_2}{\partial x_1} = -\frac{\partial f_1}{\partial x_1}, \frac{\partial f_2}{\partial x_2} = \frac{\partial f_1}{\partial x_1}$$

对每一个弹簧循环就行，这里可以把一个 3*3 的矩阵的赋值封装成函数，减少代码重复量。

对于边界点，我选择每次迭代后将 x 固定，当然设置力为 0 可能更加稳妥，有待改进。

欧拉隐式加速方法：

我们发现，对于 $M(x - y) = h^2 f_{int}(x)$ 的解，我们可以将其化为最小化能量问题

$$x_{n+1} = \arg \min_x \frac{1}{2} (x - y)^T M (x - y) + h^2 E(x)$$

对于弹性势能 E，转化成最小化问题：

$$\frac{1}{2} (\|p_1 - p_2\| - r)^2 = \min \frac{1}{2} \|p_1 - p_2 - d\|^2$$

其中 $d^T = (d_1^T, d_2^T \dots d_s^T)$, $d_i^T \in \mathbb{R}^{1 \times 3}$, $\|d_i\| = l_i$, l_i 是第 i 个弹簧原长。

所以我们将原问题转化成了

$$x_{n+1} = \arg \min_{x, d} \frac{1}{2} x^T (M + h^2 L) x - h^2 x^T J d - x^T M y$$

The matrices $\mathbf{L} \in \mathbb{R}^{3m \times 3m}$, $\mathbf{J} \in \mathbb{R}^{3m \times 3s}$ are defined as follows:

$$\mathbf{L} = \left(\sum_{i=1}^s k_i \mathbf{A}_i \mathbf{A}_i^T \right) \otimes \mathbf{I}_3, \mathbf{J} = \left(\sum_{i=1}^s k_i \mathbf{A}_i \mathbf{S}_i^T \right) \otimes \mathbf{I}_3$$

where $\mathbf{A}_i \in \mathbb{R}^m$ is the incidence vector of i -th spring, i.e., $A_{i,i_1} = 1$, $A_{i,i_2} = -1$, and zero otherwise. Similarly, $\mathbf{S}_i \in \mathbb{R}^s$ is the i -th spring indicator, i.e., $S_{i,j} = \delta_{i,j}$. The matrix $\mathbf{I}_3 \in \mathbb{R}^{3 \times 3}$ is the identity matrix and \otimes denotes Kronecker product. Note that the matrix \mathbf{L} is nothing but a stiffness-weighted Laplacian of the mass-spring system graph.

求导，立得

$$(M + h^2 L) x = h^2 J d + M y$$

采用 global/local 方法来解决

第一步：根据初始的 x ($x=y$) 求出 d ，由下式

$$d_i = l_i \frac{p_{i1} - p_{i2}}{\|p_{i1} - p_{i2}\|}$$

第二步：根据 d 解出新的 x 。

注意：这里的矩阵都是在开始模拟之前就已经定好的，所以可以在模拟一开始（之所以不在 `init` 中是因为一开始 `load` 物体的时候会调用 `init`，这会让不需要模拟的物体加载的极慢，特别是点多的物体，所以放到了模拟开始）对矩阵进行初始化并预分解，加快效率。

第三步：迭代。

五. 难点难题

1. 发散问题：

在几个数据之间找平衡花了我一段时间，半隐式和隐式在步长为给定的 0.03 时，如果弹簧的弹性系数过大，会导致一次模拟跨度太大，导致结果发散，或者分母太小导致整体太大越界。解决方案是减小重力加速度来让每一帧更新的更慢，或者减小步长（同时还要控制帧的更新速率，否则会因为更新的太快而发生卡顿），但会明显让模拟变慢，对于隐式，甚至每一帧需要 2-3s，这是我们不能接受的，但加速算法可以很好的解决这个问题。我还对半隐式做了一些改变，见上功能实现。

2. 初始化矩阵问题

发现对于 J 和 L ，其实具有二次型的形式，将 k_i 作为对角元素产生对角阵 K ，并且将列向量排列成矩阵 A ，就可以将 L 用

$$L = AKAT$$

来表示，但在实际应用中，两次矩阵乘法会让初始化变得很慢，相比

之下对于边循环，赋值虽然写起来麻烦，但效率很高，所以最后采用了后者。

3. 稀疏矩阵和稠密矩阵的转化

因为要解方程，所以不能使用 `MatrixXd` 类型，而是需要稀疏矩阵。试过“=”会报错。一开始想用三元组，发现写起来比较麻烦，查找资料发现可以使用 `sparseView()` 函数。

4. 矩阵赋值问题

发现每一次计算都是一个 3×3 的矩阵，想找个库函数能直接把一个 3×3 的矩阵加入但没有成功，后来想到可以传 `MatrixXd*` 指针，另写一个函数对九宫格赋值。

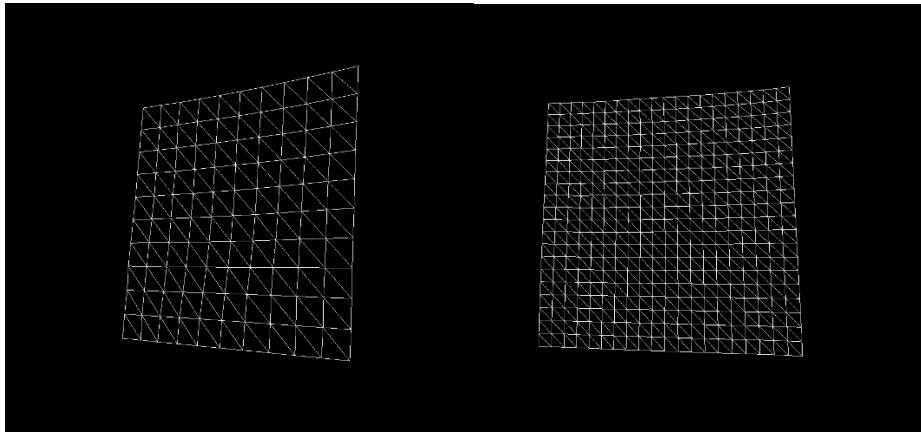
5. 类继承问题

主要问题是在调用 `Run` 的时候，是用 `MassSpring` 中的 `simulate` 调用的，但 `MassSpring` 不是按右侧按钮产生的，是通过上方按钮开始模拟，但是我没找到上方按钮的代码位置，所以还是写成了三个函数。

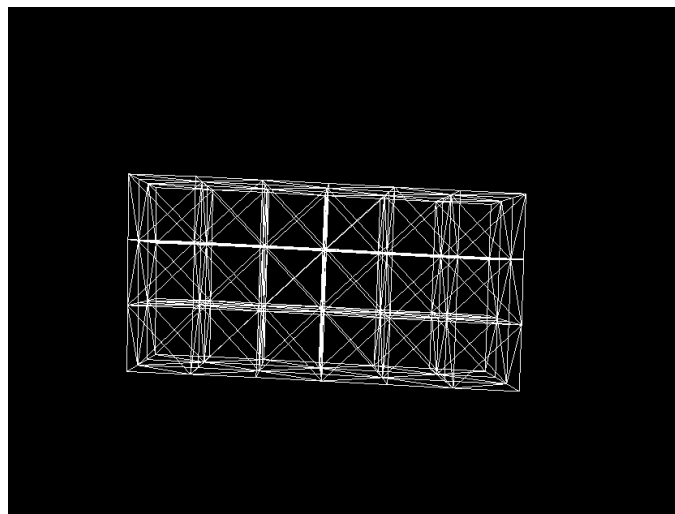
六. 实验结果

视频在文件夹中，图片为收敛结果（或者收敛过程太长，截了一张）。

半隐式方法：

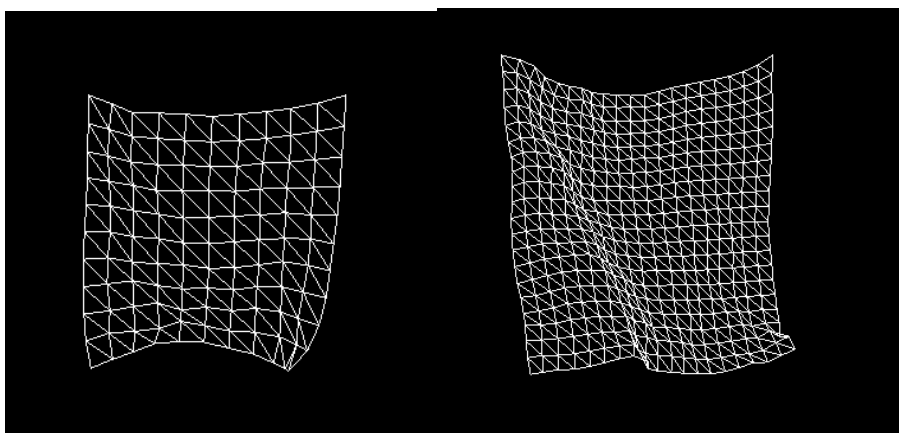


$K_s = 1000$

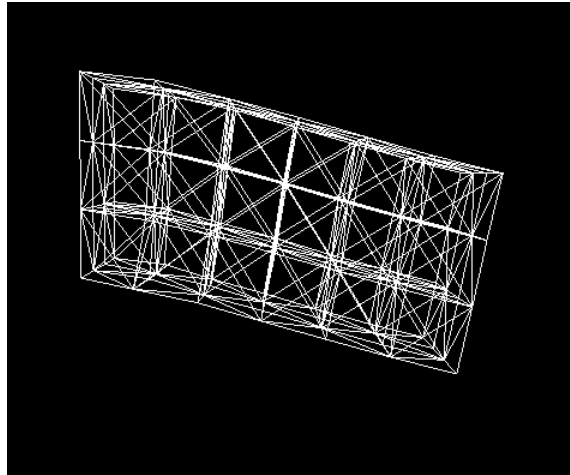


$K_s = 100$

隐式方法：

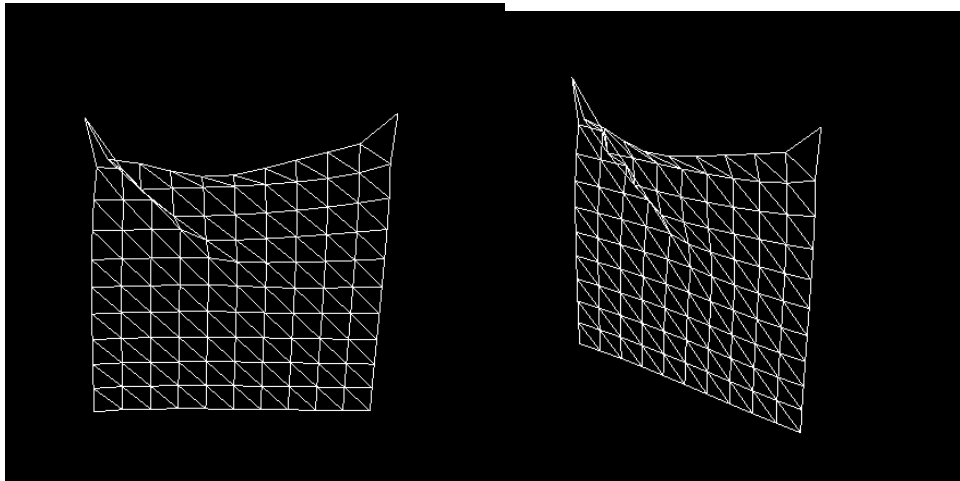


$K_s = 1000$

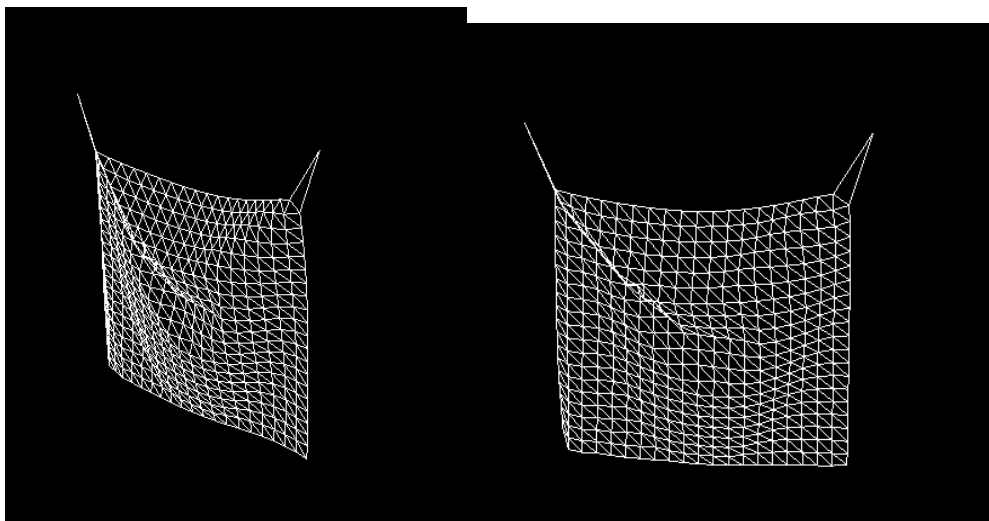


$K_s = 1000$

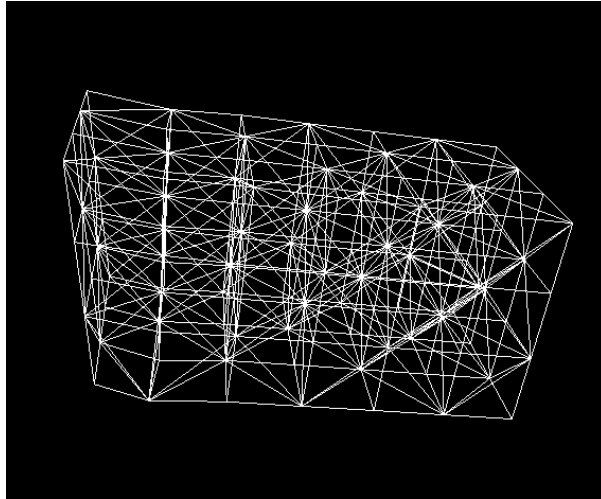
隐式方法加速：



$K_s = 1000$, 收敛时间 6 '20



$K_s = 100000$, 收敛时间 5 '20



$K_s = 1000$

总的来说，加速隐式方法在各个方面都比前两种方法好得多，无论是真实性，收敛速度，抗发散，运行速度都最优，唯一有点小瑕疵的是对于 dense 这种点多的情形，会导致两个固定点拉的太长，可以考虑根据密度变换质量。隐式算法运行时间过长，半隐式波动又过于明显。值得一提的是，相同的弹性系数，半隐式表现出来的比其真正的系数要大很多，可以发现基本不发生形变，值得探究为什么。

七. 问题与展望

7.1 遇到的问题

- 类的继承
- 隐式算法速度慢
- 半隐式算法易发散（设置阈值？）

7.2 future work

- 重量动态改变
- 将三个方法编入三个类里面
- 对于固定点的更好操作，力的平衡
- 处理碰撞
- 更快的收敛速度
- 添加阻尼，空气阻力